

---

# **ЯДРО LINUX ДЛЯ 1892ВМ14Я. РУКОВОДСТВО ПРОГРАММИСТА**

**Версия  
11.03.2022**

## ОГЛАВЛЕНИЕ

<b>1</b>	<b>О документе</b>	<b>3</b>
<b>2</b>	<b>Подсистема управления тактовыми сигналами</b>	<b>4</b>
<b>3</b>	<b>Драйвер контроллера SPI <i>dw_spi_mmio</i></b>	<b>5</b>
<b>4</b>	<b>Драйвер контроллера PWM <i>pwm-tcom</i></b>	<b>6</b>
<b>5</b>	<b>Драйвер контроллера дисплея <i>vout-drm</i></b>	<b>7</b>
<b>6</b>	<b>Драйвер фреймбуфера <i>voutfb</i></b>	<b>9</b>
<b>7</b>	<b>Драйвер VPU <i>avico</i></b>	<b>11</b>
7.1	Общие сведения . . . . .	11
7.2	Использование драйвера . . . . .	15
7.3	Контроль битрейта при кодировании . . . . .	15
<b>8</b>	<b>Драйвер контроллера Ethernet <i>arasan-gemac</i></b>	<b>20</b>
<b>9</b>	<b>Подсистема управления энергопотреблением</b>	<b>21</b>
9.1	Модель System Sleep . . . . .	21
9.2	Модель Runtime Power Management . . . . .	23
<b>10</b>	<b>Подсистема UART в режиме RS-485</b>	<b>25</b>
<b>11</b>	<b>Модуль <i>dmatestcontig</i> для тестирования SDMA</b>	<b>26</b>

## 1. О ДОКУМЕНТЕ

Документ содержит описание основных подсистем и драйверов ядра Linux, реализованных для поддержки аппаратуры СнК 1892ВМ14Я и модулей на базе СнК.

Ядро Linux поддерживает модули следующих ревизий:

- Салют-ЭЛ24Д1 r1.3;
- Салют-ЭЛ24Д1 r1.4;
- Салют-ЭЛ24Д1 r1.5;
- Салют-ЭЛ24Д1 r1.5 с установленным навигационным радиомодулем RF2Chan v2;
- Салют-ЭЛ24Д2 r1.1;
- Салют-ЭЛ24ОМ1 r1.1 с установленным Салют-ЭЛ24ПМ1 r1.1 или Салют-ЭЛ24ПМ1 r1.2;
- Салют-ЭЛ24ОМ1 r1.2 с установленным Салют-ЭЛ24ПМ1 r1.2, Салют-ЭЛ24ПМ2 r1.0 или Салют-ЭЛ24ПМ2 r1.1.

Файлы DTS \*.dtsi, \*.dts расположены в дереве исходных кодов U-Boot arch/arm/dts/\*.dts\*. Пути до прочих файлов приведены относительно корня дерева исходных кодов Linux.

## 2. ПОДСИСТЕМА УПРАВЛЕНИЯ ТАКТОВЫМИ СИГНАЛАМИ

Управление тактовыми сигналами и частотами в ядре Linux реализовано с использованием [Common Clock Framework](#).<sup>1</sup> Тактовые сигналы микросхемы описаны в виде дерева в файле `mcom02.dtsi`. Для управления тактовыми сигналами и частотами используются следующие драйверы, описанные в `drivers/clk/elvees/clk-mcom.c`:

- `mcom-clk-gate`;
- `mcom-clk-divider`;
- `mcom-clk-mux`;
- `mcom-clk-pll`;
- `mcom-smctr`.

Для корректного управления тактовыми сигналами каждый драйвер устройства, входящий в состав ядра Linux, должен реализовывать:

1. При инициализации драйвера:
  1. Захват необходимого для устройства тактового сигнала, используя функцию `clk_get()`.
  2. Включение тактового сигнала, используя функцию `clk_enable()`.
2. При удалении драйвера:
  1. Выключение тактового сигнала, используя функцию `clk_disable()`.

При инициализации подсистемы управления тактовыми сигналами происходит начальная настройка всех PLL и делителей частот микросхемы. Устанавливаемые при инициализации значения множителей PLL и делителей частот описаны в файле `mcom02.dtsi`.

---

<sup>1</sup> <https://www.kernel.org/doc/Documentation/clk.txt>

### 3. ДРАЙВЕР КОНТРОЛЛЕРА SPI *DW\_SPI\_MMIO*

Драйвер *dw\_spi\_mmio* управляет контроллерами SPI0 и SPI1 СнК 1892ВМ14Я.

Драйвер поддерживает следующие возможности:

1. Работа в режиме ведущего устройства.
2. Использование GPIO в качестве сигналов CS.
3. Настройка работы контроллера: фазы (CPHA) и полярности (CPOL) сигнала SCK, полярности сигнала CS (при использовании GPIO в качестве CS).
4. Поддержка слов длиной 8 и 16 бит.
5. Управление скоростью передачи в зависимости от ведомого устройства.

Ограничения драйвера:

1. Не поддерживается передача данных с помощью DMA.
2. Не поддерживается передача слов данных младшим битом вперед.

## 4. ДРАЙВЕР КОНТРОЛЛЕРА PWM PWM-MCOM

Драйвер *pwm-mcom* управляет контроллером PWM 1892BM14Я. Драйвер реализует стандартный интерфейс PWM<sup>2</sup>

Файл с исходным кодом драйвера — `drivers/pwm/pwm-mcom.c`. Описание DTS bindings представлено в файле `Documentation/devicetree/bindings/pwm/elvees,mcom-pwm.txt`.

Ограничения драйвера:

1. Не реализовано управление каналами OUTB.
2. Не поддерживается режим счёта PWM-контроллера (PWM API не поддерживает данный режим).
3. Не реализовано управление предделителем.

---

<sup>2</sup> <https://www.kernel.org/doc/Documentation/pwm.txt>

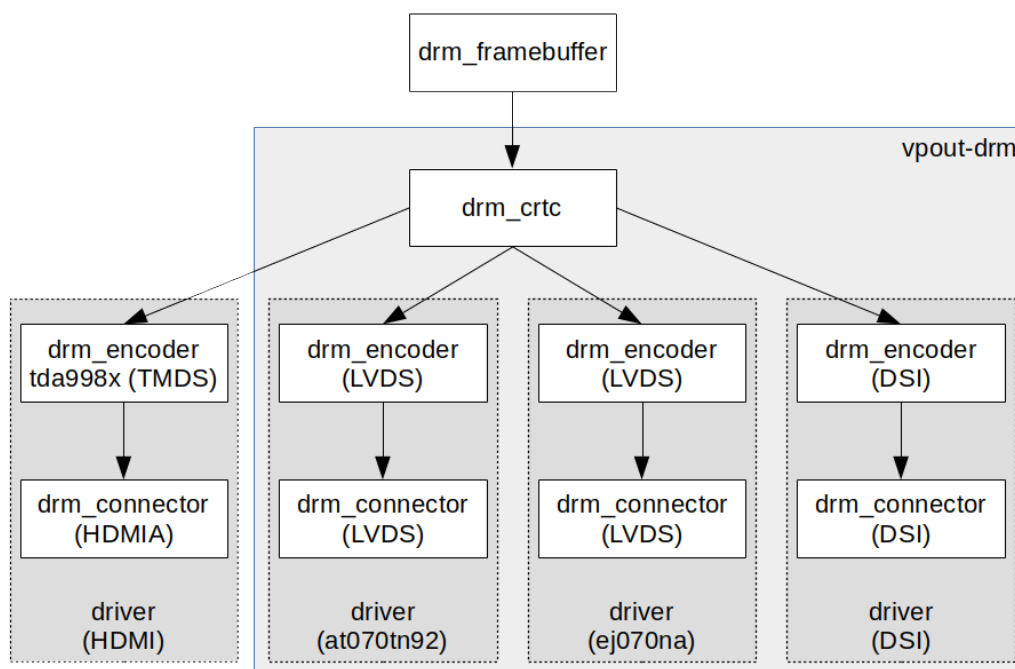
## 5. ДРАЙВЕР КОНТРОЛЛЕРА ДИСПЛЕЯ VPOUT-DRM

Данный раздел применим к драйверу контроллера дисплея VPOUT СнК 1892ВМ14Я для подсистемы DRM — *vput-drm*.

Документация, описывающая текущую версию подсистемы DRM, доступна по ссылке [Linux GPU Driver Developer's Guide](#)<sup>3</sup>.

Исходный код драйвера содержится в директории `drivers/gpu/drm/vpout`.

На рисунке 5.1 представлена диаграмма зависимостей компонентов драйвера Direct Rendering Manager (DRM).



**Рисунок 5.1. Диаграмма зависимостей компонентов драйвера DRM**

Драйвер обеспечивает следующие возможности:

1. Разрешение экрана до 1920x1080 пикселей;
2. Поддержка внешнего HDMI передатчика NXP TDA998x;
3. Поддержка внешних панелей с заданием параметров дисплея через DTS;
4. Чтение Extended Display Identification Data (EDID);
5. Эмуляция фреймбуфера через устройство `/dev/fb0`.

Ограничения драйвера:

<sup>3</sup> <https://www.kernel.org/doc/html/latest/gpu/index.html>

1. Не поддерживаются чересстрочные видеорежимы (не поддерживаются контроллером дисплея VPOUT);
2. Не поддерживаются HDMI передатчики отличные от NXP TDA998x;
3. Не реализована поддержка абстракции плоскостей (plane abstraction);
4. Не поддерживается атомарная установка видеорежима.

Экспериментальные возможности драйвера, функционал не проверялся на аппаратуре:

1. Поддержка DSI-дисплеев:

1. Не поддерживается MIPI Display Command Set (MIPI DCS) и Extended Display Identification Data (EDID) DSI-дисплеев, т.к. MIPI DCS не поддерживается в аппаратуре;
2. Фиксированные параметры дисплея (разрешение, FPS) считываются из DTS. Дополнительно в командной строке ядра должно быть указано разрешение и тип DSI-дисплея;
3. В коде драйвера фиксировано количество DSI-линий — 4.

При использовании в качестве устройства вывода HDMI монитора драйвер устанавливает оптимальный для подключенного монитора видеорежим, определяемый по EDID. С помощью параметров ядра (kernel parameters) возможно установить фиксированный видеорежим. Например, следующая строка задает разрешение экрана в 1280×720 пикселей:

```
video=HDMI-A-1:1280x720
```

При использовании в качестве устройства вывода DSI-дисплея драйвер устанавливает видеорежим заданный с помощью параметров ядра (kernel parameters). При этом параметры дисплея считываются из DTS. Например, следующая строка задает разрешение экрана в 1280×720 пикселей:

```
video=DSI:1280x720
```

Подробное описание параметров ядра, задающих видеорежим, содержится в документе `Documentation/fb/modedb.txt`.



## 6. ДРАЙВЕР ФРЕЙМБУФЕРА VPOUTFB

Для вывода на экран графического окружения на СнК используется подсистема FBDev<sup>4</sup> и драйвер *vprofb*. Директория с исходным кодом драйвера — `drivers/video/fbdev/vprofb`. Драйвер управляет контроллером VPOUT и HDMI-адаптером ITE IT66121.

Алгоритм работы драйвера:

1. Если в DTS в узле `output` присутствует свойство `compatible=»ite,it66121»`, то выполнить настройку контроллера ITE IT66121, подключенного по I2C.
2. Считать из DTS видеорежим и настроить VPOUT для вывода в заданном видеорежиме.
3. Если в DTS отсутствует видеорежим или тайминги некорректны, или свойство `output` отсутствует, то настроить VPOUT для вывода в режиме 720p 60 FPS.

Вызов `ioctl FBIOPUT_VSCREENINFO` с заданием неподдерживаемого режима завершается с `-EINVAL`. (Следовательно, вызов `fbset` завершится с ненулевым кодом возврата).

Поддерживаются следующие `ioctl`:

- `FBIOGET_VSCREENINFO`;
- `FBIOPUT_VSCREENINFO`;
- `FBIOGET_FSCREENINFO`;
- `FBIOGETCMAP`;
- `FBIOPUTCMAP`;
- `FBIOBLANK`;
- `VPOUTFB_GET_MEMORY_ID`.

При появлении прерывания `OUT_FIFO_INT` блока VPOUT драйвер останавливает и переинициализирует VPOUT. При этом в `dmesg` печатается сообщение «Caught `OUT_FIFO_INT`, reinitializing VPOUT».

В драйвере не реализовано:

1. Чтение EDID HDMI-монитора и ограничение возможных разрешений согласно данным из EDID.
2. Остановка/запуск VPOUT при отключении/подключении HDMI-монитора.

---

**Примечание:** Т.к. автоматическое определение подключения HDMI-монитора отсутствует, драйвер может быть выключен по умолчанию. Загрузка драйвера выполняется командой `modprobe vprofb`.

---

<sup>4</sup> <https://www.kernel.org/doc/Documentation/fb/api.txt>

---

**Примечание:** Для управления видеорежимами может использоваться утилита `fbset` и файл `fb.modes`.

---

Драйвер считывает видеорежим из DTS в соответствии с описанием в `Documentation/devicetree/bindings/video/display-timing.txt`. В DTS-файле `mcom02.dtsi` описан формат цветowych компонентов изображения, устанавливаемые при инициализации драйвера. Подробное описание полей узла устройства VPOUT представлено в файле `Documentation/devicetree/bindings/fb/vpoutfb.txt`.

---

**Примечание:** Модуль `vpoutfb` используется консолью – перед выгрузкой модуля необходимо отключить консоль от драйвера:

```
echo 0 > /sys/class/vtconsole/vtcon1/bind
modprobe -r vpoutfb
```

---

## 7. ДРАЙВЕР VPU AVICO

### 7.1 Общие сведения

Драйвер *avico* управляет VPU VELcore-01 и реализует аппаратное кодирование и декодирование видео по стандарту H.264. Драйвер реализован с использованием подсистемы V4L2<sup>5</sup> и предоставляет стандартный программный интерфейс для кодирования/декодирования и управления.

#### 7.1.1 Кодирование видео

1. Поддерживается входное несжатое видео с форматом пикселей M420<sup>6</sup>.
2. Максимальная ширина кадра — 1920 пикселей.
3. Максимальная высота кадра — 4096 пикселей.
4. Поддержка кодирования видео с разрешением кратным 2 по ширине и высоте.
5. Возможность установки FPS видеопотока.
6. Возможность установки параметра QP с помощью контролов<sup>7</sup>:
  - V4L2\_CID\_MPEG\_VIDEO\_H264\_I\_FRAME\_QP;
  - V4L2\_CID\_MPEG\_VIDEO\_H264\_P\_FRAME\_QP;
  - V4L2\_CID\_MPEG\_VIDEO\_H264\_CHROMA\_QP\_INDEX\_OFFSET.
7. Возможность установки IDR-кадра с помощью контроля V4L2\_CID\_MPEG\_VIDEO\_FORCE\_KEY\_FRAME.
8. Возможность установки размера GOP с помощью контроля V4L2\_CID\_MPEG\_VIDEO\_GOP\_SIZE. Новый размер GOP применяется со следующего IDR-кадра после завершения текущего GOP. Чтобы применить новый размер GOP на следующем кадре, нужно запросить IDR-кадр с помощью контроля V4L2\_CID\_MPEG\_VIDEO\_FORCE\_KEY\_FRAME.
9. Поддержка более одного потока кодирования видео. Максимальное число поддерживаемых потоков кодирования зависит от ширины и высоты кадра, количества запрошенных V4L2-буферов и объема памяти, которая может быть выделена с помощью Contiguous Memory Allocator (CMA). Теоретическое максимальное число поддерживаемых потоков кодирования можно вычислить с помощью формулы:

$$n = M / (W * (128 + (2 * B_c + 3/2 * (B_o + 1)) * H))$$

<sup>5</sup> <https://linuxtv.org/downloads/v4l-dvb-apis-new/userspace-api/v4l/v4l2.html>

<sup>6</sup> <https://www.kernel.org/doc/html/v5.4/media/uapi/v4l/pixfmt-m420.html>

<sup>7</sup> <https://linuxtv.org/downloads/v4l-dvb-apis-new/userspace-api/v4l/ext-ctrls-codec.html>

где  $M$  — размер памяти, которая может быть выделена с помощью СМА,  $W$  — ширина кадра,  $H$  — высота кадра,  $B_o$  — количество V4L2-буферов `output-интерфейса`<sup>8</sup>,  $B_c$  — количество V4L2-буферов `capture-интерфейса`<sup>9</sup>. Дополнительно количество потоков  $n$  ограничивается фрагментацией СМА. Производительность кодирования каждого видео понижается с увеличением числа потоков, т.к. используется один аппаратный поток кодирования. Пример реального максимального числа потоков и достигаемой при этом производительности кодирования при QP 23, четырех V4L2-буферов `output-интерфейса`, четырех V4L2-буферов `capture-интерфейса`, размере СМА-памяти 128 МБ и частоте VPU 312 МГц:

- 1920x1072 — 4 потока, ~15 FPS;
- 1280x720 — 6 потоков, ~22 FPS;
- 640x480 — 19 потоков, ~18 FPS.

Пример ограничения числа потоков кодирования для обеспечения производительности кодирования ~30 FPS при QP 23, четырех V4L2-буферов `output-интерфейса`, четырех V4L2-буферов `capture-интерфейса`, размере СМА-памяти 128 МБ и частоте VPU 312 МГц:

- 1920x1072 — 2 потока, ~30 FPS;
- 1280x720 — 4 потока, ~30 FPS;
- 640x480 — 12 потоков, ~30 FPS.

#### 10. Поддержка сжатия с постоянным битрейтом с помощью контролов:

- `V4L2_CID_MPEG_VIDEO_FRAME_RC_ENABLE` — включение/выключение контроля битрейта;
- `V4L2_CID_MPEG_VIDEO_BITRATE` — битрейт, бит/с.

Контроль битрейта будет выключен, если число кадров в GOP меньше трёх.

#### 11. Особенности очереди `capture`:

- Поддерживаются буферы типов `DMABUF` и `MMAP`.
- Буферы должны быть физически непрерывными.
- Буферы типа `MMAP` выделяются драйвером с помощью СМА и являются физически непрерывными и некешируемыми.

#### 12. Особенности очереди `output`:

- Поддерживаются буферы типов `DMABUF`, `MMAP` и `USERPTR`.
- Буферы типов `DMABUF` и `MMAP` должны быть физически непрерывными.
- Буферы типа `MMAP` выделяются драйвером с помощью СМА и являются физически непрерывными и некешируемыми.

<sup>8</sup> <https://linuxtv.org/downloads/v4l-dvb-apis-new/userspace-api/v4l/dev-output.html>

<sup>9</sup> <https://linuxtv.org/downloads/v4l-dvb-apis-new/userspace-api/v4l/dev-capture.html>

- Если буферы типа USERPTR не являются физически непрерывными, выполняется копирование данных из них в непрерывную память с помощью DMA. Это снижает производительность кодирования.

### 7.1.2 Декодирование видео

1. Поддерживается выходное несжатое видео с форматом пикселей M420<sup>10</sup>.
2. Поддержка декодирования видео с разрешением до 1920x1072 кратным 16 по ширине и высоте.
3. Поддержка контроля V4L2\_CID\_MPEG\_VIDEO\_GOP\_SIZE.
4. Поддержка события V4L2\_EVENT\_SRC\_CH\_RESOLUTION<sup>11</sup> при смене разрешения видео (в т.ч. в начальный момент времени, когда разрешение видео неизвестно, см. *Memory-to-Memory Stateful Video Decoder Interface*<sup>12</sup>).
5. Особенности очередей capture и output:
  - Поддерживаются буферы типов DMABUF и MMAP.
  - Буферы должны быть физически непрерывными.
  - Буферы типа MMAP выделяются драйвером с помощью CMA и являются физически непрерывными и некешируемыми.

### 7.1.3 Ограничения драйвера

1. Поддерживается только один аппаратный поток кодирования и один аппаратный поток декодирования.
2. Несжатое видео имеет нестандартный формат пикселей (M420).
3. Шаг между яркостными и/или цветовыми строками должен быть кратен 16 байтам.
4. Для кодирования требуется 180 КиБ памяти XDRAM.
5. Использование с драйвером *delcore30m* невозможно, т.к. драйвер *avico* использует SDMA через API DMA-engine, драйвер *delcore30m* — непосредственное управление SDMA.
6. Поддерживается только контроль битрейта в режиме CBR. Контроль битрейта реализован на базе алгоритма, описанного в JVT-G012 и JVT-K049, только частично: при вычислении целевого параметра квантования для P-кадров не учитывается средняя абсолютная разница (MAD) кадра и его прогноза, т.к. VPU не предоставляет доступ к значению MAD, вычисляемому им на этапе оптимизации R-D. MAD может быть вычислен программно, но предполагается, что это повлечет значительное снижение производительности, поэтому вместо модели R-D, описанной в JVT-G012 и JVT-K049, используется модель R-D, описанная в *Контроль битрейта при кодировании*. Контроль битрейта возможен только при количестве кадров в GOP, равном 3 и более.

<sup>10</sup> <https://www.kernel.org/doc/html/v5.4/media/uapi/v4l/pixfmt-m420.html>

<sup>11</sup> <https://www.kernel.org/doc/html/v5.4/media/uapi/v4l/vidioc-dqevent.html>

<sup>12</sup> <https://www.kernel.org/doc/html/v5.4/media/uapi/v4l/dev-decoder.html#memory-to-memory-stateful-video-decoder-interface>

7. Нет возможности менять FPS в процессе кодирования.
8. Для декодирования требуется выделенная память в двух контроллерах DDR (по 8 МиБ в каждом DDR для поддержки разрешения 1920x1072).
9. При декодировании сжатый кадр должен быть целиком расположен в одном output-буфере.

При кодировании для обхода проблемы gf#1382 драйвер использует промежуточные буферы в XYRAM для восстановленных и сжатых данных. Всего используется 4 буфера по 45 КиБ (строка макроблоков для кадра шириной 1920 пикселей в формате M420) — 2 буфера для восстановленных данных и 2 для сжатых. В результате реализации обхода проблемы, максимальная ширина кадров ограничилась 1920 пикселями.

При кодировании после каждой строки макроблоков VPU останавливается и драйвер выполняет следующие действия:

1. Настраивает VPU на другой промежуточный буфер.
2. Запускает SDMA для копирования данных из промежуточного буфера в DDR.
3. Запускает VPU на обработку следующей строки макроблоков.

При кодировании для обхода проблемы gf#2003 в обработчике прерывания используется задержка, состоящая из следующих действий:

1. Ожидание завершения чтения очередных данных исходного и референсного кадров.
2. Ожидание завершения 80-кратного чтения регистра EVENTS.
3. Ожидание снятия всех флагов регистра EVENTS, указывающих на текущую работу VDMA.

При декодировании для обхода проблемы зависания gf#1382 драйвер в начале декодирования выделяет буферы DDRx и DDRy в разных DDR, затем каждый кадр выполняет следующие действия:

1. Копирование входных сжатых данных из буфера пользователя в буфер DDRx с помощью SDMA. DDRx — буфер, в котором находится референсный кадр.
2. Копирование в VRAM первых двух строк макроблоков из буфера референсного кадра. Данное копирование стало необходимым после перемещения восстановленного кадра в отдельный буфер из общего буфера для референсного/восстановленного кадра. Восстановленный кадр теперь записывается в буфер DDRy.
3. Запуск декодирования, при этом референсный кадр и сжатые данные считываются из DDRx, а восстановленный кадр записывается в DDRy.
4. Выгрузка последней строки макроблоков из VRAM в буфер восстановленного кадра.
5. Копирование полученного в результате декодирования восстановленного кадра из DDRy в буфер пользователя с помощью SDMA.
6. Буферы DDRx и DDRy меняются местами, так что восстановленный кадр в DDRy используется как референсный кадр в DDRx для следующего кадра.

## 7.2 Использование драйвера

При инициализации аппаратного блока драйвер регистрирует два устройства V4L2:

- $index = 0$  — для кодирования,
- $index = 1$  — для декодирования.

В дистрибутиве Buildroot для устройств создаются символические ссылки в директории `/dev/v4l/by-path`:

```
# ls -l /dev/v4l/by-path/*codec*
lrwxrwxrwx ... /dev/v4l/by-path/platform-37100000.codec-video-index0 -> ../../
↳video0
lrwxrwxrwx ... /dev/v4l/by-path/platform-37100000.codec-video-index1 -> ../../
↳video1
```

## 7.3 Контроль битрейта при кодировании

Контроль битрейта основан на алгоритме, описанном в JVT-G012<sup>13</sup> и JVT-K049<sup>14</sup>.

Битрейт контролируется на уровне GOP и на уровне кадра. В задачи контроля битрейта входит вычисление параметра квантования, так чтобы средний битрейт видео соответствовал заданному значению.

В последующем описании используются следующие обозначения:

- $f$  — частота кадров (предполагается, что не меняется в процессе кодирования);
- $w$  — ширина кадра в пикселях;
- $h$  — высота кадра в пикселях;
- $i \in \mathbb{N}$  — номер GOP;
- $j \in \mathbb{N}$  — номер кадра в пределах GOP;
- $N_i$  — количество кадров в  $i$ -ом GOP;
- $b_i(j)$  — размер  $j$ -го сжатого кадра в  $i$ -ом GOP;
- $B_i(j)$  — число бит, оставшихся в GOP, на момент кодирования  $j$ -го кадра в  $i$ -ом GOP;
- $QP_i(j)$  — параметр квантования  $j$ -го кадра в  $i$ -ом GOP;
- $\overline{QP}_i^p$  — усредненный параметр квантования по всем P-кадрам в  $i$ -ом GOP;
- $R_i(j)$  — целевой битрейт на момент кодирования  $j$ -го кадра в  $i$ -ом GOP;
- $S_i(j)$  — целевой уровень виртуального буфера (число оставшихся бит) после кодирования  $j$ -го кадра в  $i$ -ом GOP;

<sup>13</sup> [https://www.itu.int/wftp3/av-arch/jvt-site/2003\\_03\\_Pattaya/JVT-G012.zip](https://www.itu.int/wftp3/av-arch/jvt-site/2003_03_Pattaya/JVT-G012.zip)

<sup>14</sup> [https://www.itu.int/wftp3/av-arch/jvt-site/2004\\_03\\_Munich/JVT-K049.doc](https://www.itu.int/wftp3/av-arch/jvt-site/2004_03_Munich/JVT-K049.doc)

- $V_i(j)$  — уровень заполнения виртуального буфера сжатых кадров (число бит в буфере сжатых кадров гипотетического референсного декодера) на момент кодирования  $j$ -го кадра в  $i$ -ом GOP;
- $bpp = \frac{R_1(1)}{fwh}$  — целевое число бит на пиксель.

### 7.3.1 Описание алгоритма

Общее число бит для оставшихся кадров в GOP в случае сжатия с константным битрейтом вычисляется по формуле:

$$B_i(j) = \begin{cases} \frac{R_i(j)}{f} \times N_i - V_i(j) & j = 1 \\ B_i(j-1) - b_i(j-1) & j = 2, 3, \dots, N_i \end{cases}$$

Уровень заполнения виртуального буфера вычисляется по формуле:

$$V_i(1) = \begin{cases} 0 & i = 1 \\ V_{i-1}(N_{i-1}) & \text{other} \end{cases}$$

$$V_i(j) = V_i(j-1) + b_i(j-1) - \frac{R_i(j-1)}{f} \quad j = 2, 3, \dots, N_i$$

Для первого кадра первого GOP значение параметра квантования выбирается на основе целевого числа бит на пиксель по формуле:

$$QP_1(1) = \begin{cases} 40 & bpp \leq l1 \\ 30 & l1 < bpp \leq l2 \\ 20 & l2 < bpp \leq l3 \\ 10 & bpp > l3 \end{cases}$$

Рекомендуемые значения:

- $l1 = 0.15, l2 = 0.45, l3 = 0.9$  — для кадров размером QCIF/CIF;
- $l1 = 0.6, l2 = 1.4, l3 = 2.4$  — для кадров больше QCIF/CIF.

Для последующих GOP:

$$QP_i(1) = \max(QP_{i-1}(1) - 2, \min(QP_{i-1}(1) + 2, \overline{QP}_{i-1}^p - \min(2, \frac{N_{i-1}}{15})))$$

$$\overline{QP}_i^p = \sum_{j=2}^{N_i} QP_i(j) / (N_i - 1)$$

Полученное значение параметра квантования корректируется по формуле:

$$QP_i(1) = QP_i(1) - 1 \quad \text{if} \quad QP_i(1) > QP_{i-1}(N_{i-1}) - 2$$

Перед вычислением параметра квантования P-кадров вычисляется целевой размер P-кадра.

Целевой размер P-кадра зависит от целевого уровня виртуального буфера. Целевой уровень виртуального буфера определяется для каждого P-кадра согласно размерам первого IDR-кадра и первого P-кадра.



После кодирования первого Р-кадра в  $i$ -ом GOP начальное значение целевого уровня виртуального буфера устанавливается по формуле:

$$S_i(2) = V_i(2)$$

Целевой уровень виртуального буфера для последующих Р-кадров вычисляется по формуле:

$$S_i(j+1) = S_i(j) - \frac{S_i(2)}{N_i - 2}$$

Размер, выделяемый для  $j$ -го Р-кадра в  $i$ -ом GOP, вычисляется на основе целевого уровня виртуального буфера, частоты кадров, целевого битрейта и реального уровня заполнения виртуального буфера по формуле:

$$\tilde{T}_i(j) = \frac{R_i(j)}{f} + \gamma(S_i(j) - V_i(j))$$

где  $\gamma$  — константа, равная 0.5.

При вычислении целевого размера кадра также следует учесть число оставшихся бит в GOP для кадра, которое вычисляется по формуле:

$$\hat{T}_i(j) = \frac{B_i(j)}{N_i - \max(j - 1, 1)}$$

Целевой размер Р-кадра — взвешенная комбинация  $\tilde{T}$  и  $\hat{T}$ , которая вычисляется по формуле:

$$T_i(j) = \beta \hat{T}_i(j) + (1 - \beta) \tilde{T}_i(j)$$

где  $\beta$  — константа, равная 0.5.

Для совместимости с гипотетическим референсным декодером целевой размер Р-кадра должен также ограничиваться согласно *Совместимость с гипотетическим референсным декодером*.

В JVT-K049 и JVT-G012 целевой параметр квантования вычисляется на основе квадратичной модели R-D, в которой используется средняя абсолютная разница<sup>15</sup> (MAD) текущего базового элемента (кадр, макроблок или слайс) и его прогноза, полученного на этапе оптимизации R-D. VPU не предоставляет значение MAD для кадра, поэтому вычисление целевого параметра квантования выполняется другим методом.

Согласно *Rate-Distortion Analysis for H.264/AVC Video Coding and its Application to Rate Control*<sup>16</sup> увеличение параметра квантования на единицу приводит к уменьшению битрейта на ~12.5%, таким образом целевой параметр квантования QR может быть вычислен из формулы:

$$T = c_1 \times 0.875^{(QP - QP_c)} T_c + c_2$$

<sup>15</sup> MAD для текущего базового элемента вычисляется на основе линейной модели прогнозирования, в которой используется действительный MAD предыдущего базового элемента.

<sup>16</sup> <https://ieeexplore.ieee.org/document/1546001>

где  $T$  — целевой размер кадра,  $T_c$  — размер кадра, полученный при значении  $QP_c$  параметра квантования,  $c_1, c_2$  — коэффициенты, начальные значения которых соответственно равны 1 и 0. Коэффициенты обновляются после кодирования каждого кадра согласно методу наименьших квадратов.

Данный метод требует двух проходов кодирования каждого кадра, т.к. сначала требуется вычислить размер кадра для заданного QP и в случае необходимости скорректировать QP и повторно выполнить кодирование. Для выполнения одного прохода кодирования предлагается прогнозировать размер текущего кадра для заданного QP на основе размера предыдущего P-кадра по формуле<sup>17</sup>:

$$\tilde{T}_c = a_1 T_c + a_2$$

где  $a_1$  и  $a_2$  — коэффициенты модели прогнозирования размера кадра,  $T_c$  — размер предыдущего кадра. Начальные значения коэффициентов соответственно равны 1 и 0. Коэффициенты обновляются после кодирования каждого кадра согласно методу наименьших квадратов.

Для предотвращения резкого изменения качества видео вычисленный параметр квантования корректируется по формуле:

$$QP_i(j) = \min(QP_i(j-1) + 2, \max(QP_i(j-1) - 2, QP_i(j)))$$

Полученное значение параметра квантования ограничивается диапазоном [0; 51] и передается в VPU, который выполняет оптимизацию R-D согласно значению QP.

После завершения кодирования кадра значения коэффициентов  $a_1, a_2, c_1, c_2$  обновляются.

Примечание - В текущей реализации алгоритма контроля битрейта коэффициенты  $a_1, a_2, c_1, c_2$  всегда равны начальным значениям.

### 7.3.2 Совместимость с гипотетическим референсным декодером

Чтобы удовлетворять требованиям гипотетического референсного декодера целевой размер P-кадра также ограничивается нижней границей ( $Z_i(j)$ ) и верхней границей ( $U_i(j)$ ) по формуле:

$$T_i(j) = \min(U_i(j), \max(Z_i(j), T_i(j)))$$

Верхняя и нижняя границы инициализируются по формулам:

$$Z_i(1) = B_{i-1}(N_{i-1}) + \frac{R_i(1)}{f}$$

$$U_i(1) = B_{i-1}(N_{i-1}) + be(t_{r,1}(1)) \times \omega$$

где  $B_{i-1}(N_{i-1})$  — число бит для оставшихся кадров в GOP с номером (i-1),  $B_0(N_0) = 0$ ,  $\omega$  — константа, равная 0.9,  $t_{r,1}(1)$  — длительность удаления 1-го кадра из виртуального буфера,  $be(t)$  — размер данных (в битах), эквивалентный длительности  $t$  с коэффициентом преобразования, равным битрейту.

<sup>17</sup> Формула аналогична модели прогнозирования MAD, описанной в JVT-G012 и JVT-K049.

Последующие значения  $Z_i(j)$  и  $U_i(j)$  вычисляются по формулам:

$$Z_i(j) = Z_i(j - 1) + \frac{R_i(j)}{f} - b_i(j - 1)$$
$$U_i(j) = U_i(j - 1) + \left(\frac{R_i(j)}{f} - b_i(j - 1)\right) \times \omega$$

Примечание - Формулы для  $Z_i(j)$  и  $U_i(j)$ , описанные выше, представлены в [Adaptive rate control for H.264<sup>18</sup>](#). Предполагается, что в JVT-K049 даны некорректные формулы  $Z_i(j)$  и  $U_i(j)$  (в формулах вместо размера предыдущего кадра используется размер текущего кадра, который не может быть известен на данном этапе). В документе JVT-G012 целевой размер P-кадра не ограничивается нижней и верхней границами, поэтому формулы  $Z_i(j)$  и  $U_i(j)$  там отсутствуют.

---

<sup>18</sup> <https://www.sciencedirect.com/science/article/abs/pii/S104732030500060X>

## 8. ДРАЙВЕР КОНТРОЛЛЕРА ETHERNET ARASAN-GEMAC

Драйвер *arasan-gemac* управляет контроллером Ethernet Arasan GEMAC. Драйвер реализует стандартный интерфейс `network devices`, описанный в `Documentation/networking/netdevices.txt`. Обработка RX-прерываний реализована с использованием интерфейса `NAPI`<sup>19</sup>.

Директория с исходным кодом драйвера — `drivers/net/ethernet/arasan`.

Драйвер поддерживает выполнение следующих операций из пространства пользователя:

1. Установка скорости (10/100/1000 Мб/с);
2. Установка дуплекса (`full/half`);
3. Установка уровня сообщений драйвера;
4. Установка MAC-адреса;
5. Чтение регистров контроллера Ethernet Arasan GEMAC утилитой `ethtool`;
6. Перезапуск автосогласования;
7. Проверка физического подключения;
8. Установка MTU кадра в диапазоне 68 – 3500 байт;
9. Отключение фильтрации пакетов (`Promiscuous mode`);
10. Включение приема всех `multicast`-пакетов (`IFF_ALLMULTI`);
11. Поддерживается фильтрация `unicast`-пакетов по MAC-адресу и `multicast`-пакетов по `hash`-таблице.

---

**Примечание:** Включение `promiscuous mode` повышает нагрузку на CPU.

---

Драйвер не поддерживает:

1. Управление паузой;
2. Чтение и запись EEPROM;
3. `Wake-on-Lan`;
4. Управление объединением прерываний.

---

<sup>19</sup> <https://wiki.linuxfoundation.org/networking/napi>

## 9. ПОДСИСТЕМА УПРАВЛЕНИЯ ЭНЕРГОПОТРЕБЛЕНИЕМ

Подсистема управления энергопотреблением Linux определяет модели управления энергопотреблением (подробнее см. [Device Power Management Basics](#)<sup>20</sup>):

- System Sleep;
- Runtime Power Management.

### 9.1 Модель System Sleep

В модели System Sleep определены состояния сна (подробнее см. [System Power Management Sleep States](#)<sup>21</sup>):

- Suspend-To-Idle (s2idle, freeze);
- Standby, Power-On Suspend (shallow, standby);
- Suspend-to-RAM (deep);
- Suspend-to-disk (disk).

Поддерживаемые состояния сна:

- Suspend-To-Idle;
- Power-On Suspend.

Для энергосбережения в состоянии Power-On Suspend используются свойства драйверов:

- поддержка приостановки (suspend) контроллера СнК в драйвере;
- поддержка приостановки (suspend) контроллера внешнего интерфейса (приёмопередатчик CAN, Ethernet PHY, и т.д.) в драйвере;
- поддержка CPU Hotplug (подробнее см. главу *CPU Hotplug*).

Поддержка приостановки реализована в драйверах контроллеров СнК:

- *avico* (невозможен переход в Power-On Suspend во время сжатия);
- *delcore-30m*;
- *designware-i2c*;
- *designware-i2s*;
- *dw-apb-gpio*;
- *dw-apb-uart*;

<sup>20</sup> <https://www.kernel.org/doc/html/latest/driver-api/pm/devices.html>

<sup>21</sup> <https://www.kernel.org/doc/Documentation/power/states.txt>

- *dw-wdt*;
- *dwc2*;
- *sdhci-mcom02*.

Поддержка приостановки реализована в драйверах контроллеров внешних интерфейсов модулей на базе СнК:

- *bcm4329-fmac*;
- *mcp2515*;
- *ft313h*.

Поддержка приостановки не реализована в драйверах контроллеров СнК:

- *arasan-gemac*;
- *dw-apb-ssi*;
- *dw-apb-timer*;
- *mcom-pwm*;
- *mfbssp-i2s*;
- *nfc-v2p99*;
- *pl330*;
- *vinc*;
- *vpout-drm*;
- *vpoutfb*.

Поддержка пробуждения (wakeur) реализована в драйверах:

- *dw-apb-uart* (подробнее см. *Пример пробуждения по событию от UART*);
- *dw-apb-gpio*;
- *rtc-ds1307* (подробнее см. *Пример пробуждения по событию от RTC*).

### 9.1.1 Пример пробуждения по событию от UART

1. Установить UART0 в качестве источника пробуждения:

```
echo enabled > /sys/devices/platform/38028000.serial/tty/ttyS0/power/wakeup
```

2. Перевести ОС в состояние сна:

```
echo freeze > /sys/power/state # enter Suspend-To-Idle state
```

или:

```
echo standby > /sys/power/state # enter Power-On Suspend state
```

3. В терминале на ПЭВМ отправить любой символ в приёмник контроллера UART0.

## 9.1.2 Пример пробуждения по событию от RTC

1. Перевести ОС в состояние сна до указанного времени пробуждения:

```
rtcwake -s 3 -m freeze # enter Suspend-To-Idle state
```

или:

```
rtcwake -s 3 -m standby # enter Power-On Suspend state
```

## 9.2 Модель Runtime Power Management

Для поддержки динамического управления энергопотреблением реализованы:

- механизм CPU hotplug;
- драйвер управления частотой ядер CPU *cpufreq-dt*.

### 9.2.1 Механизм CPU hotplug

Механизм CPU hotplug<sup>22</sup> позволяет включать и выключать процессорные ядра, не перезагружая систему, что может использоваться:

- для отключения CPU1;
- для перехода системы в состояния сна.

Для выключения и включения процессорных ядер используются функции `cpu_down()` и `cpu_up()`, описанные в файле `kernel/cpu.c`.

Использование через sysfs:

1. Для отключения питания ядра CPU1 необходимо выполнить:

```
echo 0 > /sys/devices/system/cpu/cpu1/online
```

2. Для включения питания ядра CPU1 необходимо выполнить:

```
echo 1 > /sys/devices/system/cpu/cpu1/online
```

### 9.2.2 Драйвер управления частотой ядер CPU *cpufreq-dt*

Штатный драйвер *cpufreq-dt*, позволяет управлять тактовой частотой ядер CPU0 и CPU1 через подсистему CPUfreq<sup>23</sup>.

Директория с исходным кодом драйвера — `drivers/cpufreq`. Список частот ядер CPU описан в DTS-файле `mscm02.dtsi`. Описание DTS bindings представлено в файле `Documentation/devicetree/bindings/cpufreq/cpufreq-dt.txt`.

Возможности драйвера:

<sup>22</sup> [https://www.kernel.org/doc/Documentation/core-api/cpu\\_hotplug.rst](https://www.kernel.org/doc/Documentation/core-api/cpu_hotplug.rst)

<sup>23</sup> <https://www.kernel.org/doc/Documentation/cpu-freq/user-guide.txt>

1. Регуляторы масштабирования тактовой частоты ядер CPU (CPUfreq governors):
  - `ondemand` (по-умолчанию) — устанавливает тактовую частоту в зависимости от нагрузки на ядрах CPU;
  - `conservative` — похож на `ondemand`, но более экономный (предпочтение отдаётся меньшим тактовым частотам);
  - `performance` — устанавливает тактовую частоту в максимальное значение;
  - `userspace` — позволяет устанавливать частоту из пространства пользователя.
2. Управление регуляторами и частотами через `sysfs`.

Ограничения драйвера:

1. Не поддерживается управление напряжением питания ядер CPU, т.к отсутствует поддержка в СнК.
2. Не поддерживается независимое управление частотой ядер CPU, т.к отсутствует поддержка в СнК.

Для установки тактовой частоты ядер из пространства пользователя необходимо:

1. Выбрать регулятор `userspace`:

```
echo userspace > /sys/devices/system/cpu/cpu0/cpufreq/scaling_governor
```

2. Выбрать частоту из поддерживаемых. Список частот доступен в файле `/sys/devices/system/cpu/cpu0/cpufreq/scaling_available_frequencies`.
3. Установить частоту. Значение частоты передаётся в кГц, например:

```
echo 312000 > /sys/devices/system/cpu/cpu0/cpufreq/scaling_setspeed
```



## 10. ПОДСИСТЕМА UART В РЕЖИМЕ RS-485

Для управления полудуплексными приёмопередатчиками RS-485 используются ioctl TIOCMBIS/TIOCMBIC:

```
int rts_flag = TIOCM_RTS;
ioctl(fd, TIOCMBIS, &rts_flag); // set send mode
ioctl(fd, TIOCMBIC, &rts_flag); // set receive mode
```

Примечание: модули Салют-ЭЛ24ОМ1 имеют полудуплексный приёмопередатчик RS-485.

## 11. МОДУЛЬ *DMATESTCONTIG* ДЛЯ ТЕСТИРОВАНИЯ SDMA

Модуль *dmatestcontig* не входит в состав исходных кодов Linux. Описание относится к модулю *dmatestcontig* из коммита `4896f90a4cd335d91f5b9f2c1457f24baa7f98ce` в репозитории модуля. Модуль *dmatestcontig* основан на модуле *dmatest*<sup>24</sup> из коммита `9da2b1641a098eb9b00aacbfd7715efb6a503f7b` в репозитории ядра Linux.

Модуль *dmatestcontig* позволяет провести тестирование SDMA с передачей данных, измерением производительности и проверкой правильности переданных данных. Управление SDMA осуществляется через *DMA Engine API*<sup>25</sup>. Поддерживаемые типы передач: *DMA\_MEMCPY*, *DMA\_XOR*, *DMA\_PQ*. Модуль поддерживает ряд параметров, которые позволяют задать размер буферов, количество повторений передач, максимальное число используемых каналов SDMA, количество потоков ядра, использующих канал SDMA, и др. Особенностью модуля *dmatestcontig* является то, что он позволяет выбрать типы передач, указывать специфические регионы памяти и включать частоты, которые, например, могут быть необходимы для обеспечения доступа к устройству памяти.

Модуль поддерживает все параметры, которые имеет модуль *dmatest*, а также добавляет параметры:

- *tests* — типы выполняемых передач данных (по умолчанию выбраны все поддерживаемые типы передач);
- *memregs* — базовые адреса зарезервированных регионов памяти в DTS, в которые каналы SDMA должны адресовать запросы чтения/записи (по умолчанию регион выбирается автоматически);
- *src* — регионы памяти из *memregs*, в которые каналы SDMA будут адресовать запросы чтения (по умолчанию первый регион, указанный в *memregs*);
- *dst* — регионы памяти из *memregs*, в которые каналы SDMA будут адресовать запросы записи (по умолчанию первый регион, указанный в *memregs*);
- *clocks* — наименования узлов устройств в DTS, описывающих частоты, которых нужно включить, например, для обеспечения доступа SDMA к устройству памяти.

Параметр *tests* содержит битовую маску типов передач. Значение 1 бита включает тип передачи и наоборот. Соответствие типов передач и номеров бит в параметре:

- бит 0 — *DMA\_MEMCPY*;
- бит 1 — *DMA\_XOR*;
- бит 2 — *DMA\_PQ*.

<sup>24</sup> <https://www.kernel.org/doc/Documentation/dmaengine/dmatest.txt>

<sup>25</sup> <https://www.kernel.org/doc/html/latest/driver-api/dmaengine/client.html>

Резервирование регионов памяти в DTS выполняется согласно [Reserved memory regions](#)<sup>26</sup>.  
Пример резервирования регионов памяти для модулей Салют-ЭЛ24ПМ:

```
reserved-memory {
    #address-cells = <1>;
    #size-cells = <1>;
    ranges;

    dmatestc_ddr0_reserved: dmatestc_ddr0@0x7f800000 {
        no-map;
        reg = <0x7f800000 0x800000>;
    };
    dmatestc_ddr1_reserved: dmatestc_ddr1@0xdf800000 {
        no-map;
        reg = <0xdf800000 0x800000>;
    };
    dmatestc_xyram_reserved: dmatestc_xyram@0x3a400000 {
        no-map;
        reg = <0x3a400000 0x400000>;
    };
};
```

Элементы массивов `src` и `dst` ссылаются на регионы памяти по индексу региона в массиве `memregs`. Номер канала SDMA, с которым ассоциируется регион, определяется индексом элемента в `src/dst`.

Пример загрузки модуля с параметрами `tests`, `src` и `dst`:

```
modprobe dmatestcontig wait=1 run=1 noverify=1 tests=0x01 \
    max_channels=5 memregs=0x7f800000,0xdf800000,0x3a400000 \
    src=2,2,0,1,1 dst=0,0,2,2,1
modprobe -r dmatestcontig
```

В примере выше пять каналов SDMA адресуют запросы чтения/записи в регионы памяти следующим образом:

- Канал 0: чтение из региона с базовым адресом 0x3a400000, запись в регион с адресом 0x7f800000.
- Канал 1: чтение из региона с базовым адресом 0x3a400000, запись в регион с адресом 0x7f800000.
- Канал 2: чтение из региона с базовым адресом 0x7f800000, запись в регион с адресом 0x3a400000.
- Канал 3: чтение из региона с базовым адресом 0xdf800000, запись в регион с адресом 0x3a400000.
- Канал 4: чтение из региона с базовым адресом 0xdf800000, запись в регион с адресом 0xdf800000.

Пример загрузки модуля с параметром `clocks`:

<sup>26</sup> <https://www.kernel.org/doc/Documentation/devicetree/bindings/reserved-memory/reserved-memory.txt>

```
modprobe dmatestcontig run=1 noverify=1 memregs=0x7f800000,0x3a400000 \  
  src=0 dst=1 clocks="dsp_aclk"  
modprobe -r dmatestcontig
```

В примере выше включается частота, описанная в узле устройства «dsp\_aclk» в DTS, необходимая для обеспечения доступа к XDRAM.